

3D Gaussian Splatting

Tino Reith

(Demo 1)

3D Gaussian Splatting

Bernhard Kerbl, Georgios Kopanas, Thomas Leimkühler, and George Drettakis. 2023. 3D Gaussian Splatting for Real-Time Radiance Field Rendering. ACM Trans. Graph. 42, 4, Article 1 (August 2023), 14 pages. <https://doi.org/10.1145/3592433>



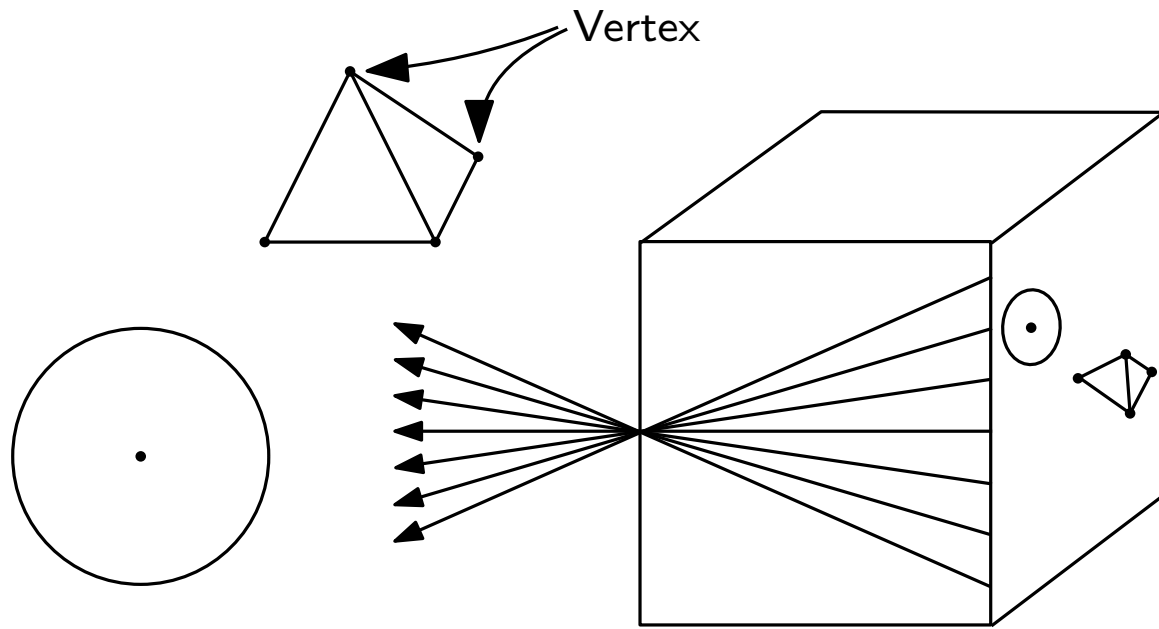
Traditionelle Rendering-Techniken

1) Raytracing

2) Rasterization

Traditionelle Rendering-Techniken

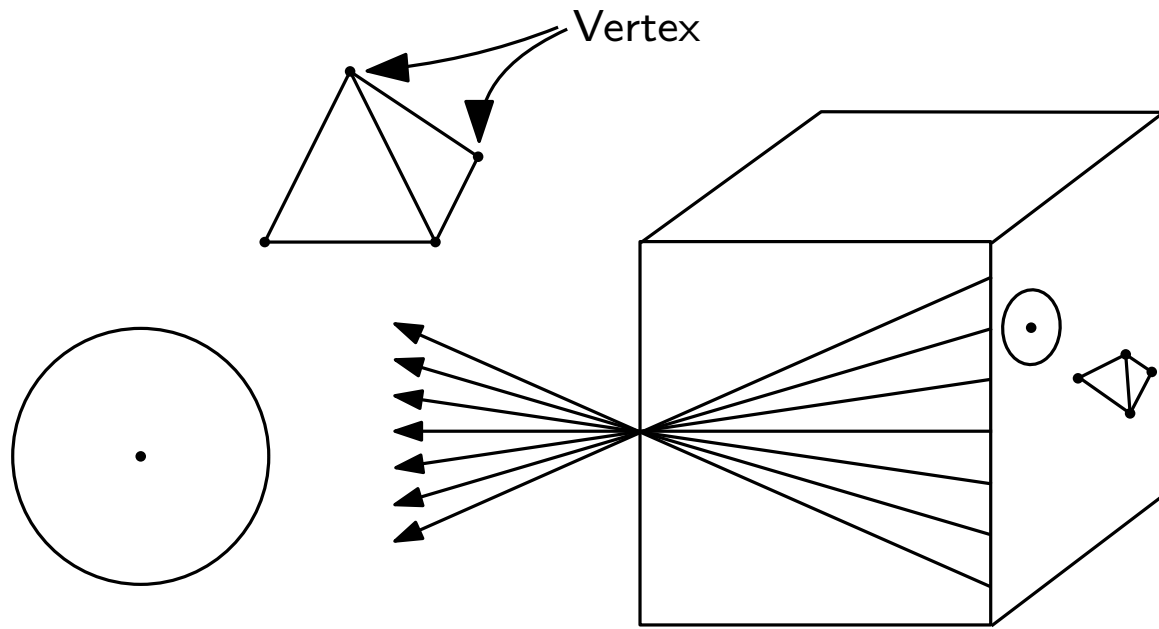
1) Raytracing



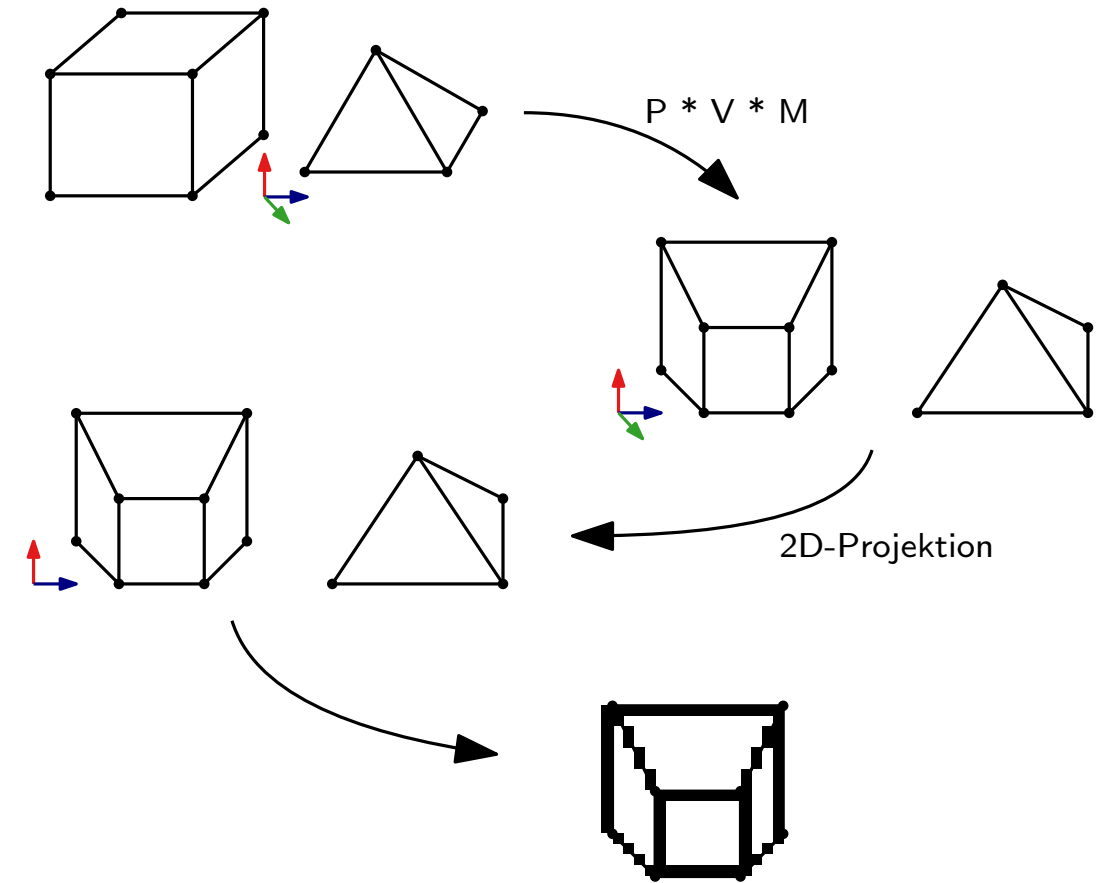
2) Rasterization

Traditionelle Rendering-Techniken

1) Raytracing

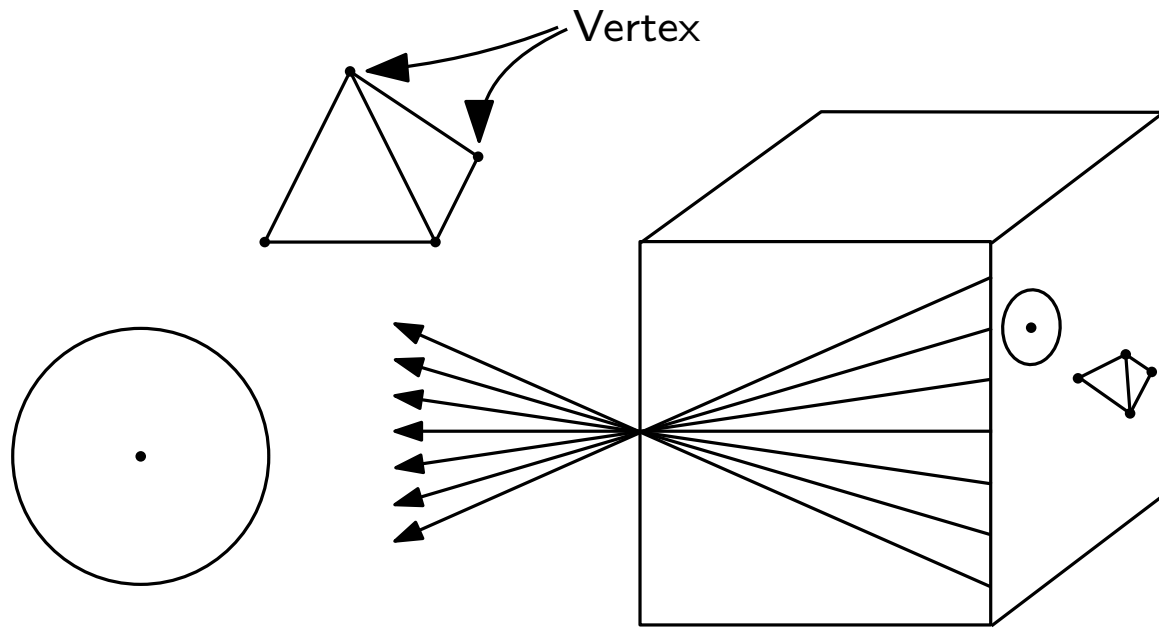


2) Rasterization

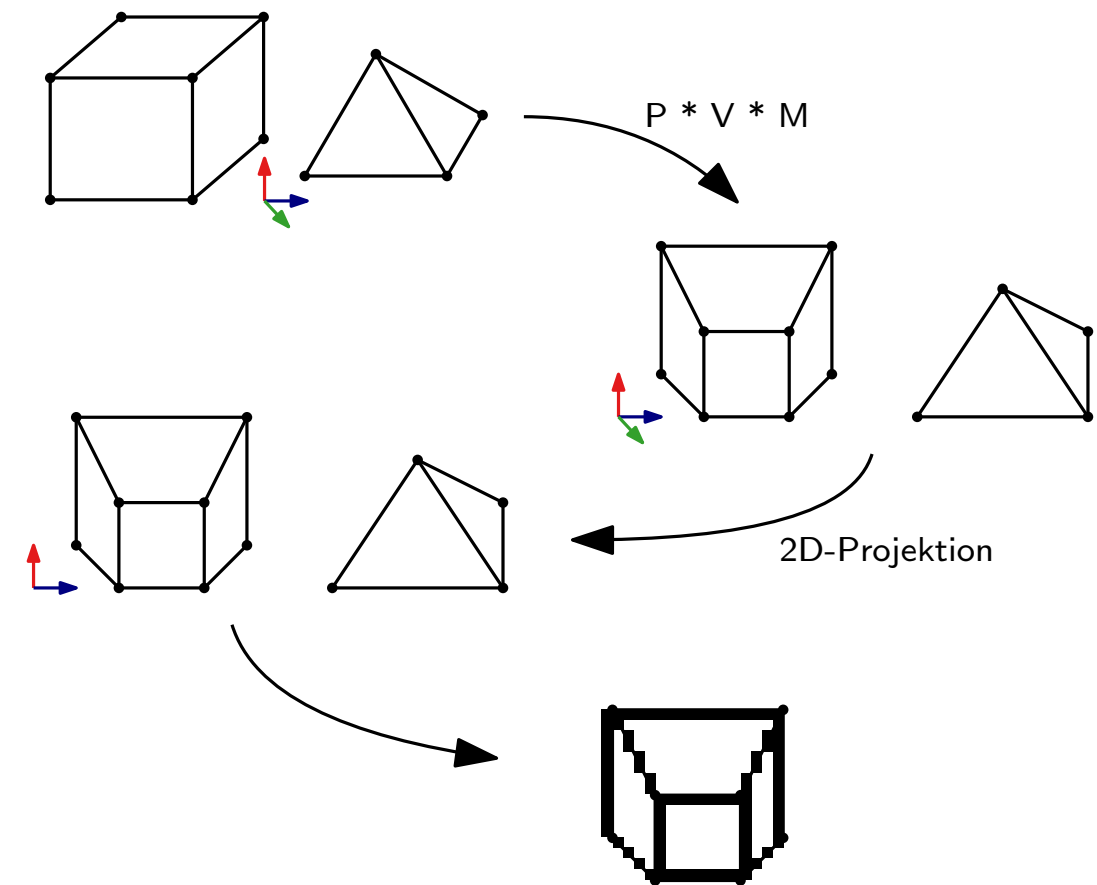


Traditionelle Rendering-Techniken

1) Raytracing



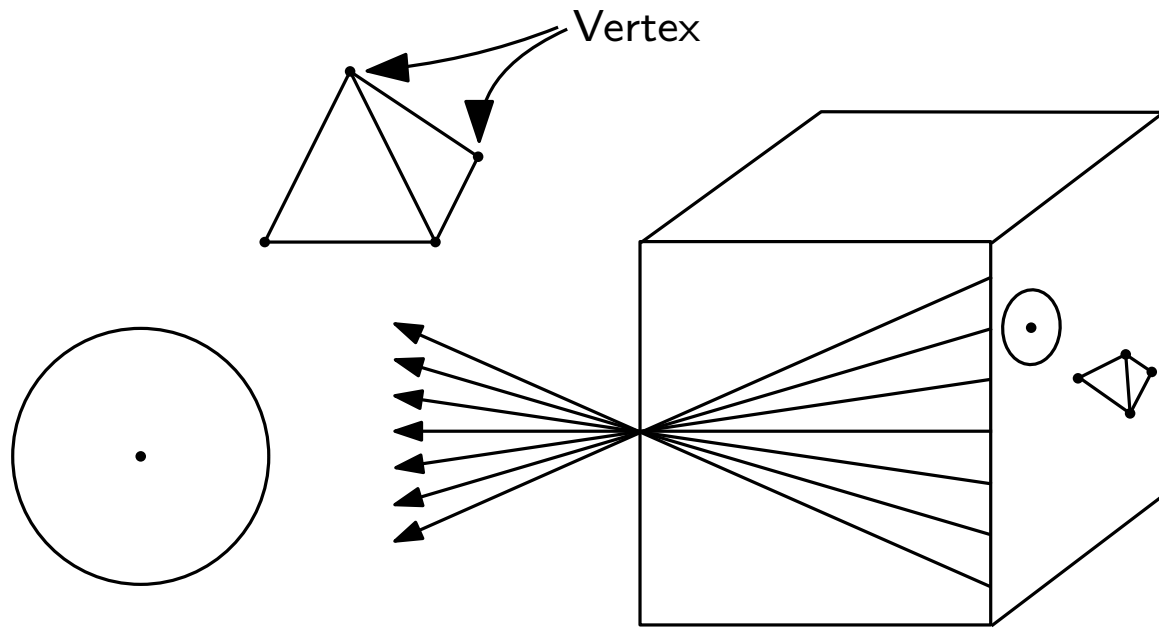
2) Rasterization



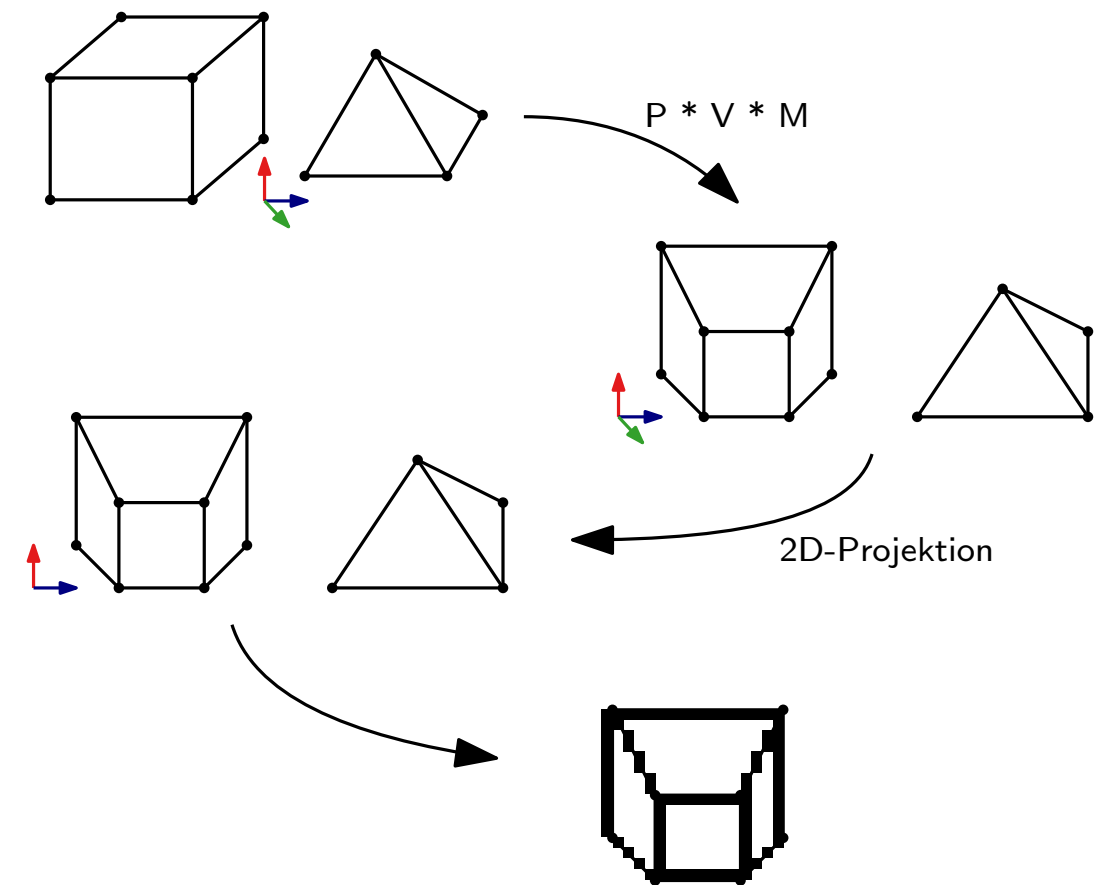
Nur die Außenhülle der Geometrie wird verwendet!

Traditionelle Rendering-Techniken

1) Raytracing



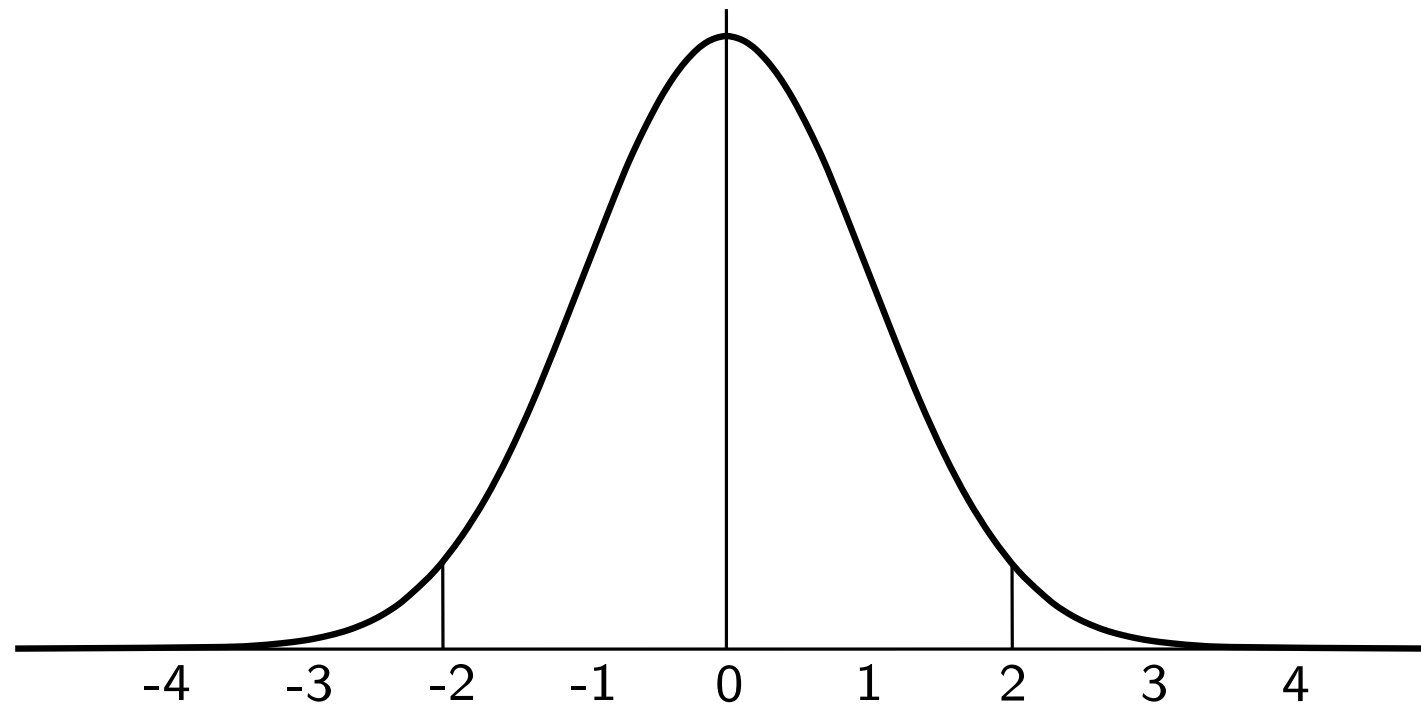
2) Rasterization



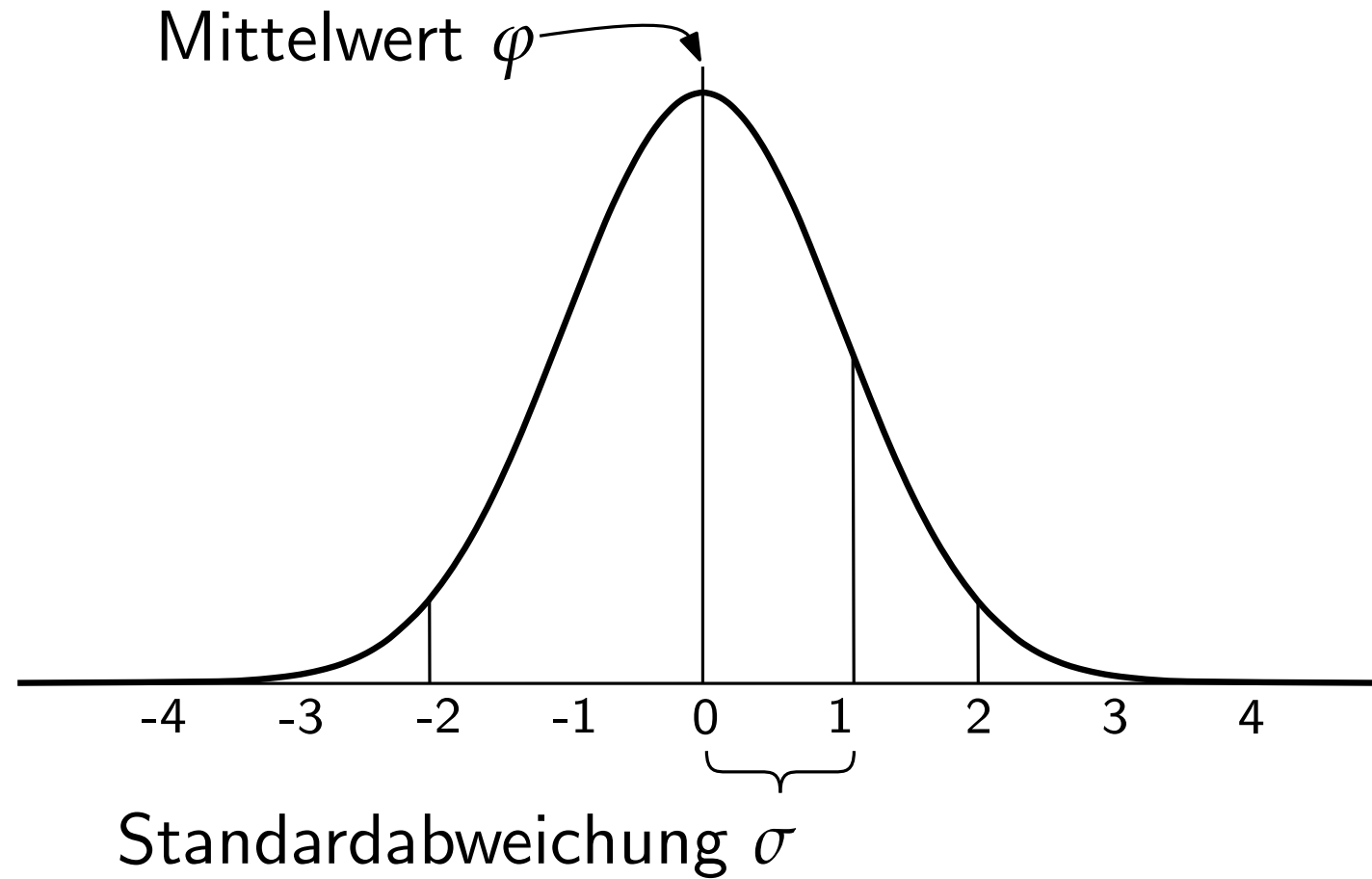
Nur die Außenhülle der Geometrie wird verwendet!

3D-Gaussian Splatting \Rightarrow Objekte werden als Volumen repräsentiert!

Was war nochmal Normalverteilung?

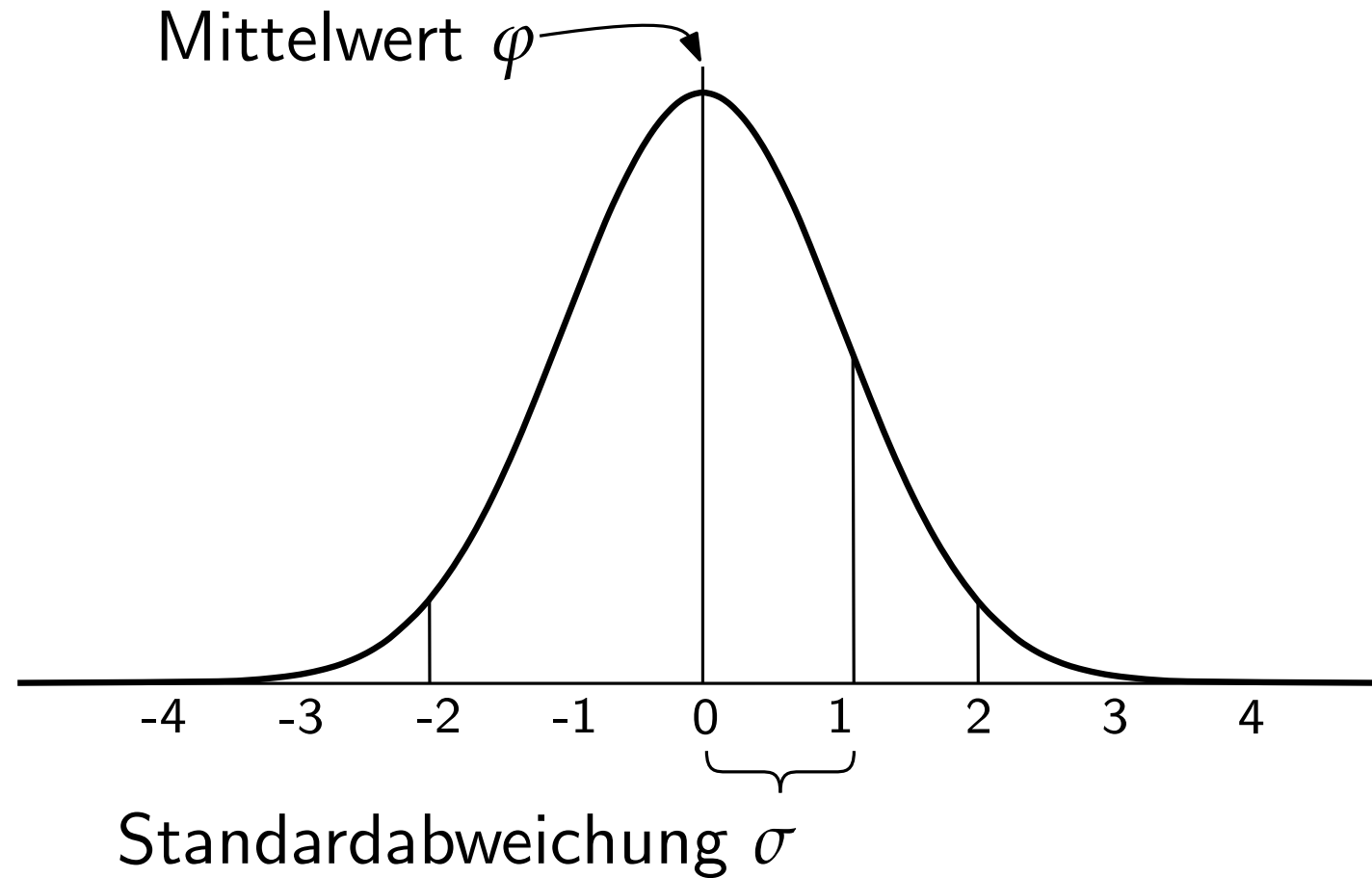


Was war nochmal Normalverteilung?



Was war nochmal Normalverteilung?

$$f(x|\varphi, \sigma^2) = \frac{1}{\sigma\sqrt{2\pi}} e^{-\frac{1}{2}\left(\frac{x-\varphi}{\sigma}\right)^2}$$

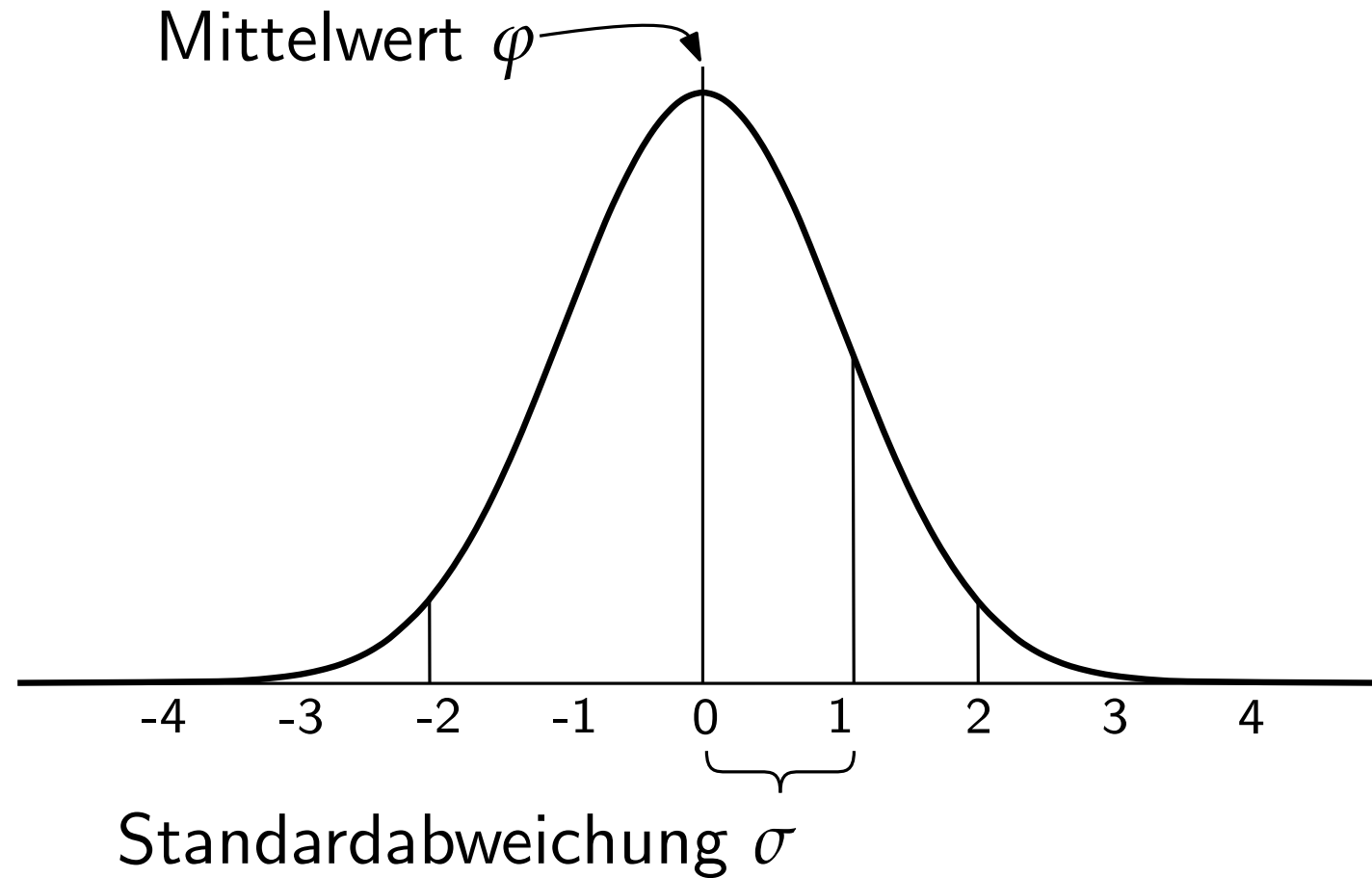


Was war nochmal Normalverteilung?

(Demo 2)

Was war nochmal Normalverteilung?

$$f(x|\varphi, \sigma^2) = \frac{1}{\sigma\sqrt{2\pi}} e^{-\frac{1}{2}\left(\frac{x-\varphi}{\sigma}\right)^2}$$



~~2/3~~D Gaussian

1D:
$$f(x|\varphi, \sigma^2) = \frac{1}{\sigma\sqrt{2\pi}} e^{-\frac{(x-\varphi)^2}{2\sigma^2}}$$

~~2/3~~D Gaussian

$$1\text{D: } f(x|\varphi, \sigma^2) = \frac{1}{\sigma\sqrt{2\pi}} e^{-\frac{(x-\varphi)^2}{2\sigma^2}}$$



$$2\text{D: } f(x, y|\varphi_x, \varphi_y, \sigma_x^2, \sigma_y^2) = Ae^{-\left(\frac{(x-\varphi_x)^2}{2\sigma_x^2} + \frac{(y-\varphi_y)^2}{2\sigma_y^2}\right)}$$

~~2D~~ Gaussian

$$\begin{aligned} \text{1D:} \quad & f(x|\varphi, \sigma^2) = \frac{1}{\sigma\sqrt{2\pi}} e^{-\frac{(x-\varphi)^2}{2\sigma^2}} \\ & \downarrow \\ \text{2D:} \quad & f(x, y|\varphi_x, \varphi_y, \sigma_x^2, \sigma_y^2) = A e^{-\left(\frac{(x-\varphi_x)^2}{2\sigma_x^2} + \frac{(y-\varphi_y)^2}{2\sigma_y^2}\right)} \end{aligned}$$

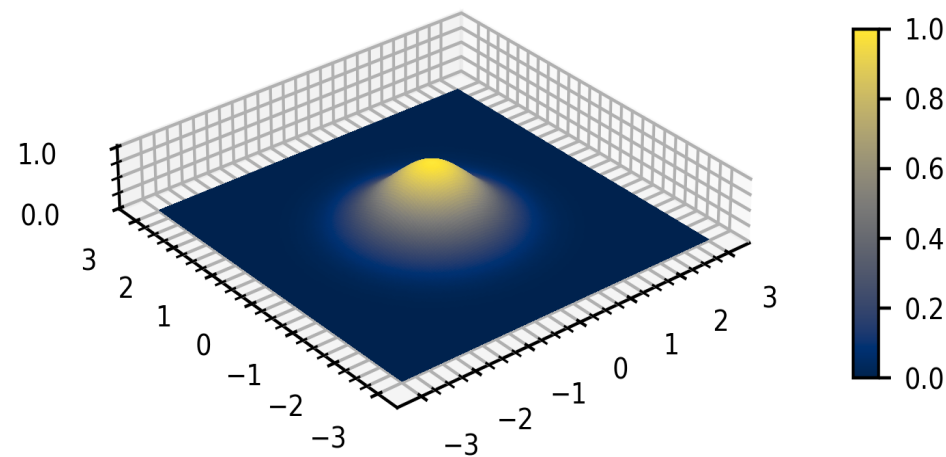
(Demo 3)

2/3D Gaussian

1D: $f(x|\varphi, \sigma^2) = \frac{1}{\sigma\sqrt{2\pi}} e^{-\frac{(x-\varphi)^2}{2\sigma^2}}$



2D: $f(x, y|\varphi_x, \varphi_y, \sigma_x^2, \sigma_y^2) = Ae^{-\left(\frac{(x-\varphi_x)^2}{2\sigma_x^2} + \frac{(y-\varphi_y)^2}{2\sigma_y^2}\right)}$



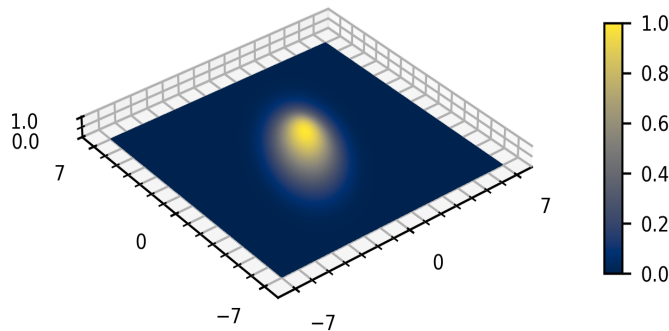
~~2~~3D Gaussian

1D: $f(x|\varphi, \sigma^2) = \frac{1}{\sigma\sqrt{2\pi}} e^{-\frac{(x-\varphi)^2}{2\sigma^2}}$



2D: $f(x, y|\varphi_x, \varphi_y, \sigma_x^2, \sigma_y^2) = Ae^{-\left(\frac{(x-\varphi_x)^2}{2\sigma_x^2} + \frac{(y-\varphi_y)^2}{2\sigma_y^2}\right)}$

Alternativ: $f(x, y) = Ae^{-(a(x-x_0)^2 + 2b(x-x_0)(y-y_0) + c(y-y_0)^2)}$

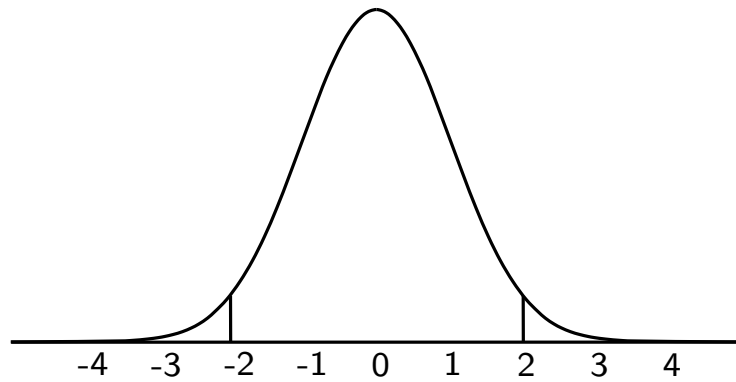


3D Gaussian?

1D-Gaussian



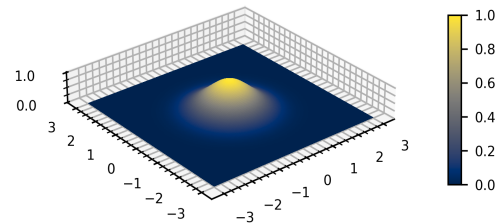
2D-Projektion



2D-Gaussian



3D-Projektion



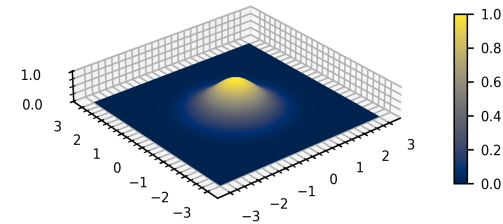
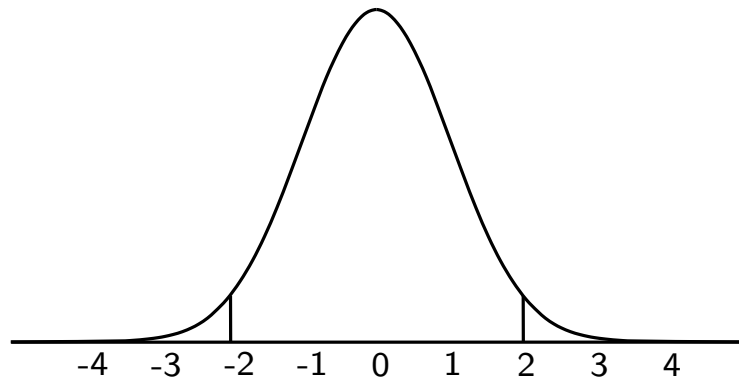
3D-Gaussian



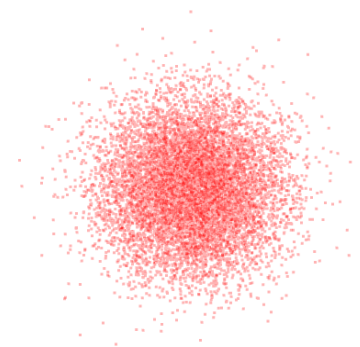
4D-Projektion

??

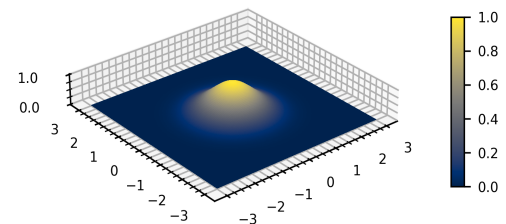
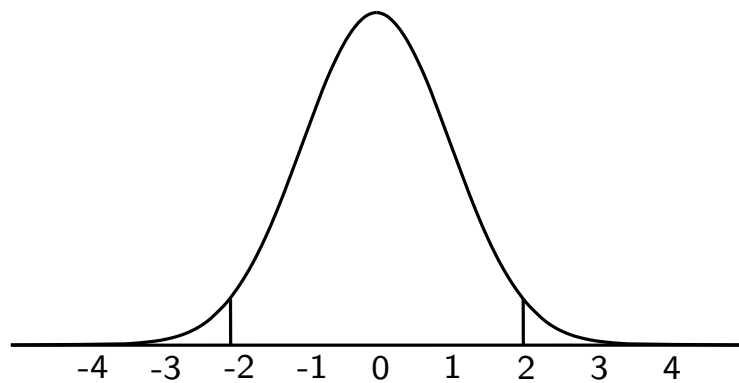
Ein anderer Ansatz...



3D-Gaussian



Ein anderer Ansatz...

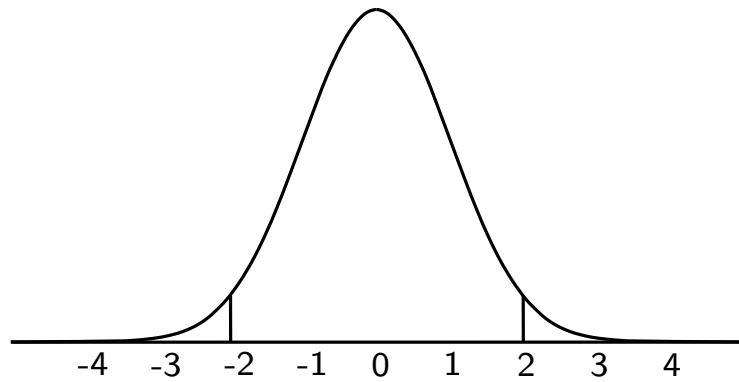


3D-Gaussian

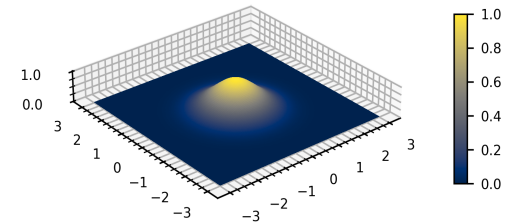


(Demo)

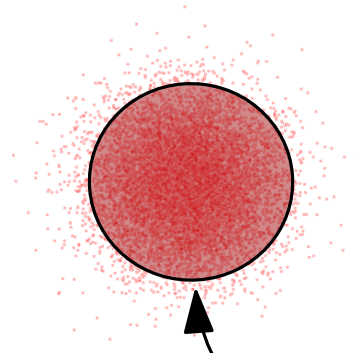
Ein anderer Ansatz...



Konfidenzintervall



3D-Gaussian



Konfidenzintervall
(Ellipse)

(Demo)



Konfidenzintervall
(Ellipsoid)

Überblick

Bilder von einem echten Objekt werden aufgenommen



Mit Gaussians, wird die Szene digital rekonstruiert



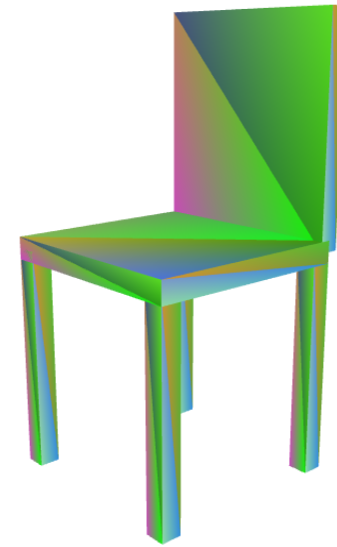
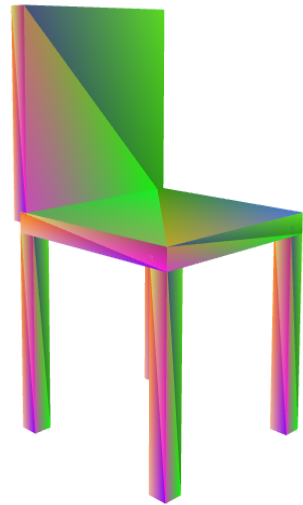
Die Szene kann aus beliebigen Blickwinkeln betrachtet werden

DEMO

Von Bildern zu 3D-Gaussians

Der Plan:

Input: Bilder und Point Cloud von statischer Szene aus verschiedenen Perspektiven



Von Bildern zu 3D-Gaussians

Der Plan:

Input: Bilder und Point Cloud von statischer Szene aus verschiedenen Perspektiven

- Szene mit 3D-Gaussians rekonstruieren = Training
- Gegebene Gaussians Zeichnen = Rendern

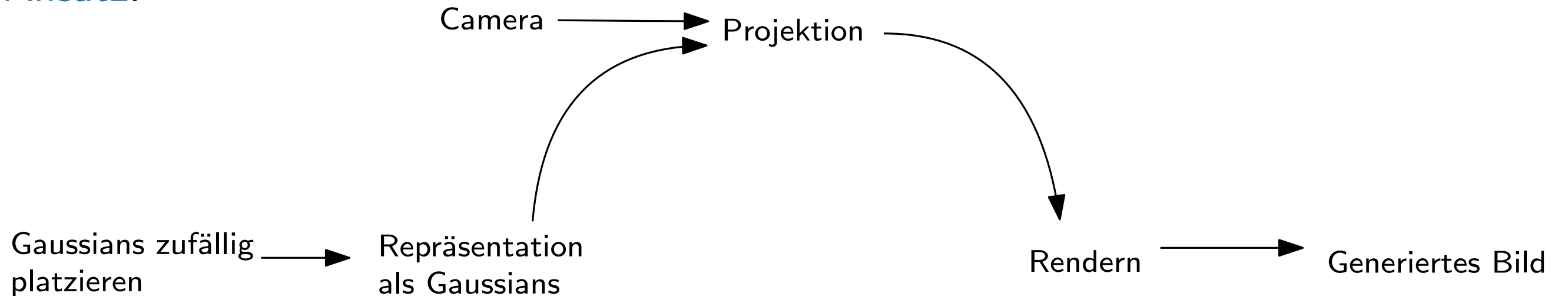
Von Bildern zu 3D-Gaussians

Der Plan:

Input: Bilder und Point Cloud von statischer Szene aus verschiedenen Perspektiven

- Szene mit 3D-Gaussians rekonstruieren = Training

Ansatz:



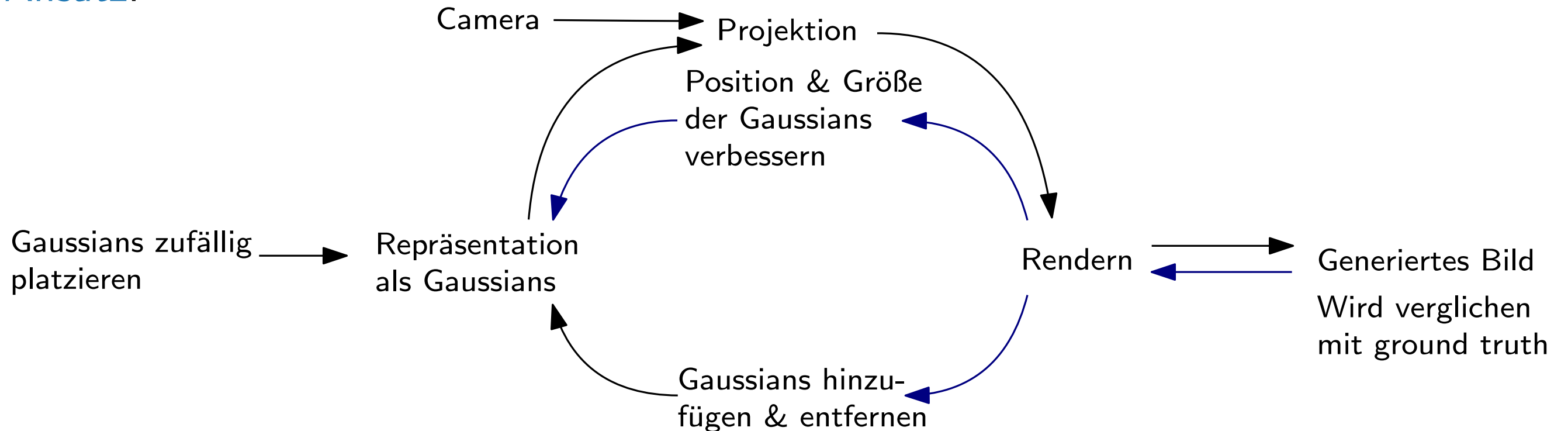
Von Bildern zu 3D-Gaussians

Der Plan:

Input: Bilder und Point Cloud von statischer Szene aus verschiedenen Perspektiven

- Szene mit 3D-Gaussians rekonstruieren = Training

Ansatz:



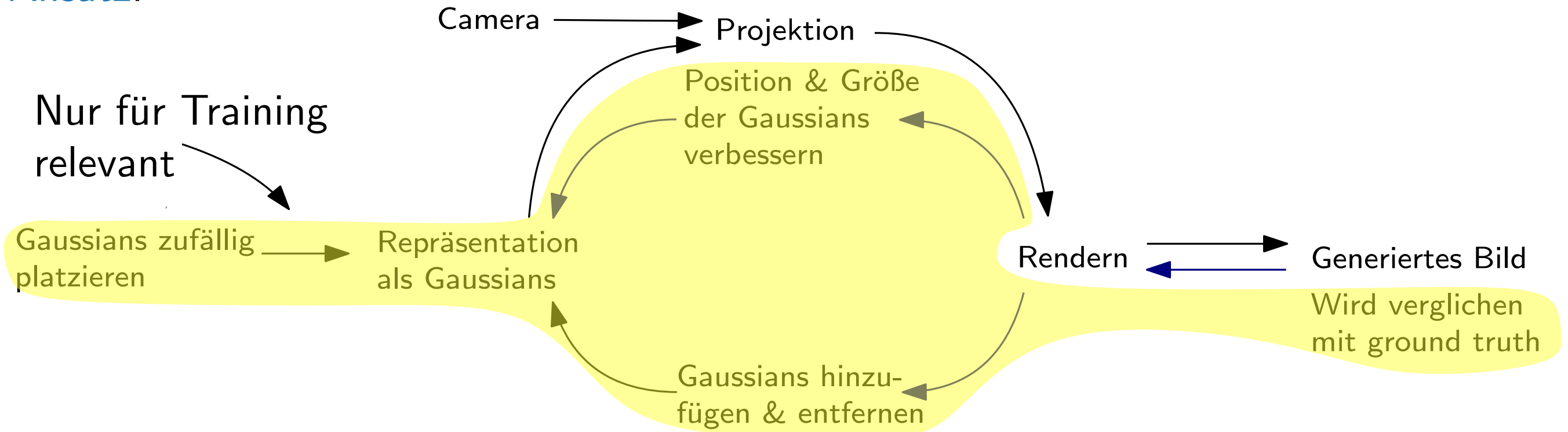
Von Bildern zu 3D-Gaussians

Der Plan:

Input: Bilder und Point Cloud von statischer Szene aus verschiedenen Perspektiven

- Szene mit 3D-Gaussians rekonstruieren = Training

Ansatz:



Szene rekonstruieren

Nach welchen Kriterien werden Gaussians verschoben, erstellt und gelöscht?

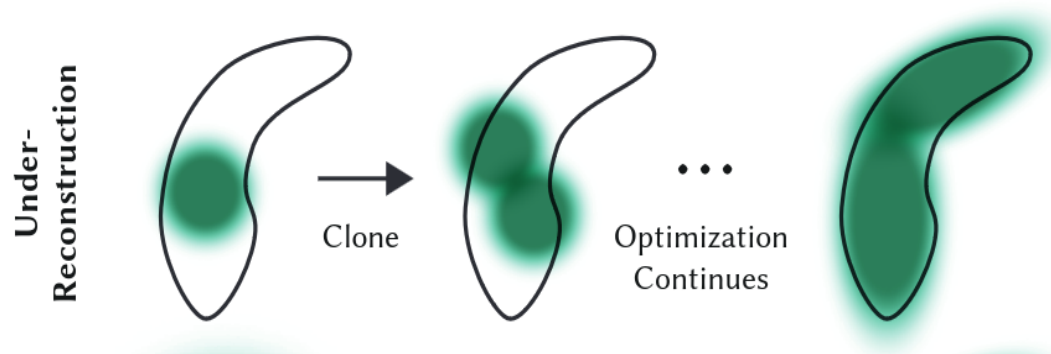
- Start mit wenigen isotropischen Gaussians
- Jede Iteration werden Position, Größe, Farbe und Transparenz optimiert.

Alle 100 Iterationen:

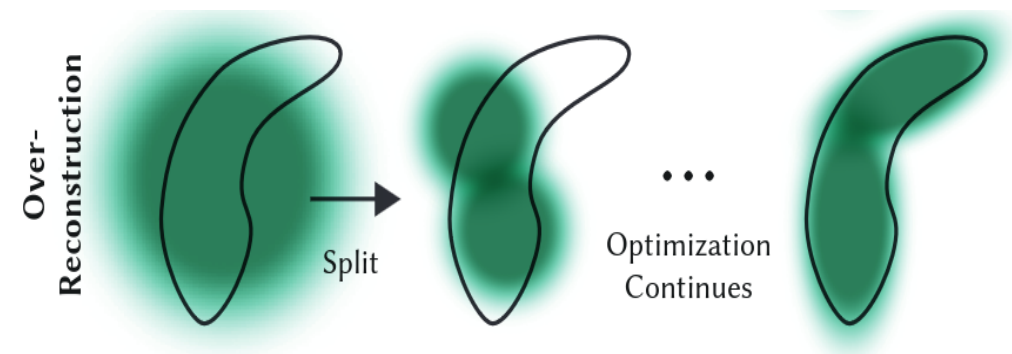
- Sehr große oder sehr transparente Gaussians ($\alpha < \varepsilon_\alpha$) werden entfernt

Wenn zu wenige oder zu große Gaussians vorliegen:

Under-reconstruction



Over-reconstruction



Training - Pseudocode

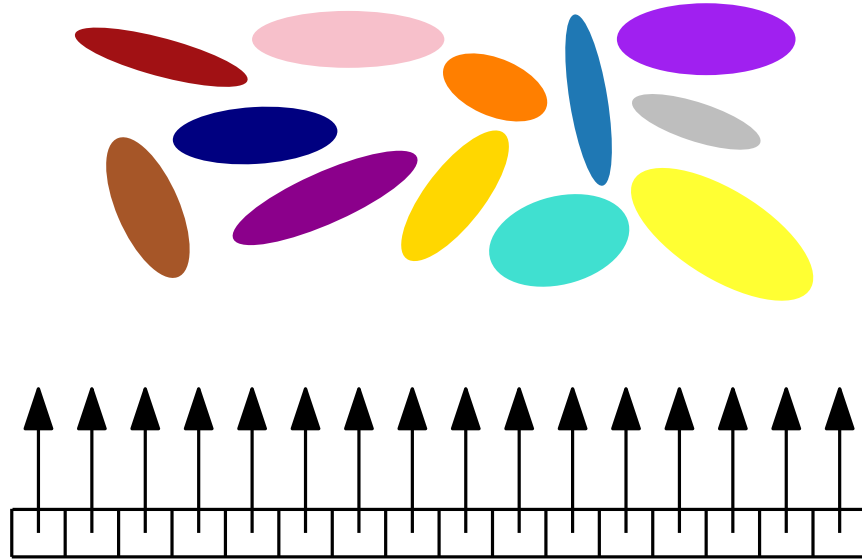
w, h : width and height of the training images

```
 $M \leftarrow$  SfM Points ▷ Positions  
 $S, C, A \leftarrow$  InitAttributes() ▷ Covariances, Colors, Opacities  
 $i \leftarrow 0$  ▷ Iteration Count  
while not converged do  
   $V, \hat{I} \leftarrow$  SampleTrainingView() ▷ Camera  $V$  and Image  
   $I \leftarrow$  Rasterize( $M, S, C, A, V$ ) ▷ Alg. 2  
   $L \leftarrow$  Loss( $I, \hat{I}$ ) ▷ Loss  
   $M, S, C, A \leftarrow$  Adam( $\nabla L$ ) ▷ Backprop & Step  
  if IsRefinementIteration( $i$ ) then  
    for all Gaussians  $(\mu, \Sigma, c, \alpha)$  in  $(M, S, C, A)$  do  
      if  $\alpha < \epsilon$  or IsTooLarge( $\mu, \Sigma$ ) then ▷ Pruning  
        RemoveGaussian()  
      end if  
      if  $\nabla_p L > \tau_p$  then ▷ Densification  
        if  $\|S\| > \tau_S$  then ▷ Over-reconstruction  
          SplitGaussian( $\mu, \Sigma, c, \alpha$ )  
        else ▷ Under-reconstruction  
          CloneGaussian( $\mu, \Sigma, c, \alpha$ )  
        end if  
      end if  
    end for  
  end if  
   $i \leftarrow i + 1$   
end while
```

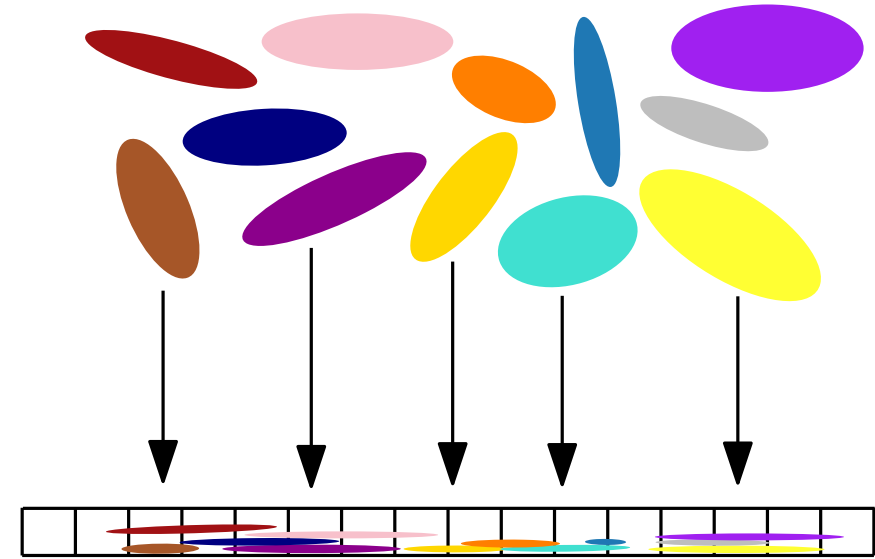
Rendering

Wie kommt das 3D-gaussian in den Pixel?

Option 1: Raytracing/Raymarching



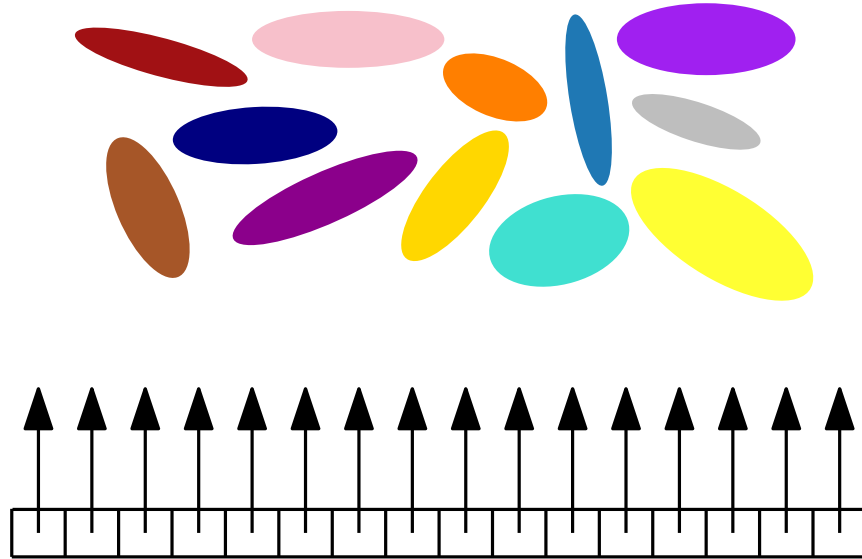
Option 2: Projektion der Gaussians auf 2D-Bildschirm



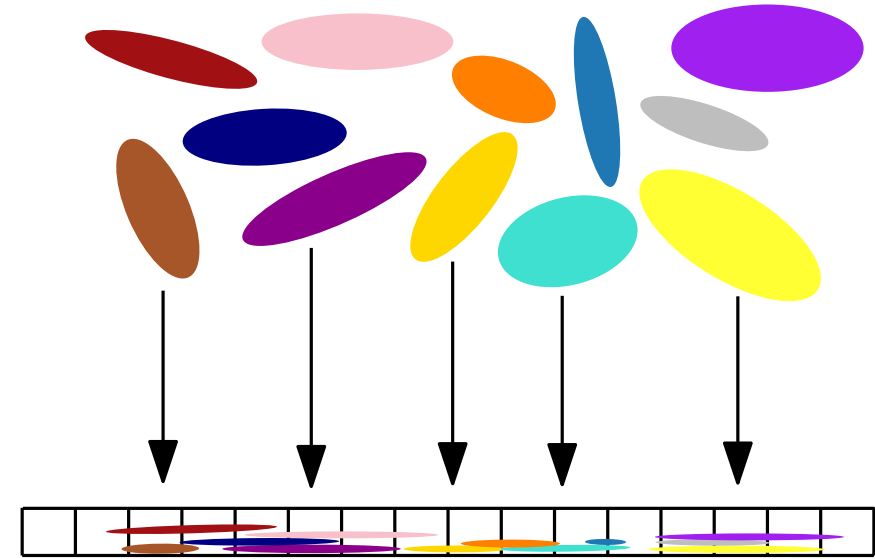
Rendering

Wie kommt das 3D-gaussian in den Pixel?

Option 1: Raytracing/Raymarching ✗

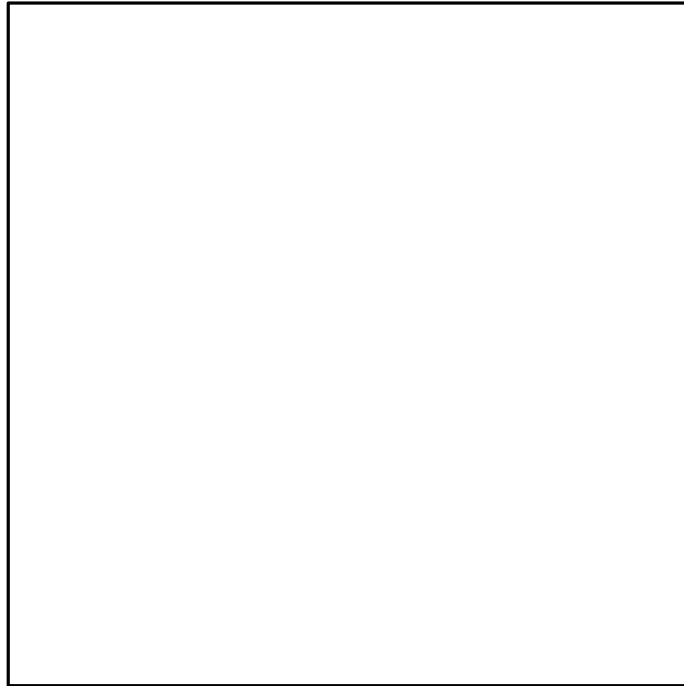
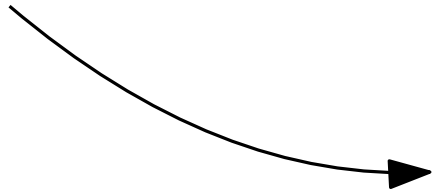


Option 2: Projektion der Gaussians auf 2D-Bildschirm ✓

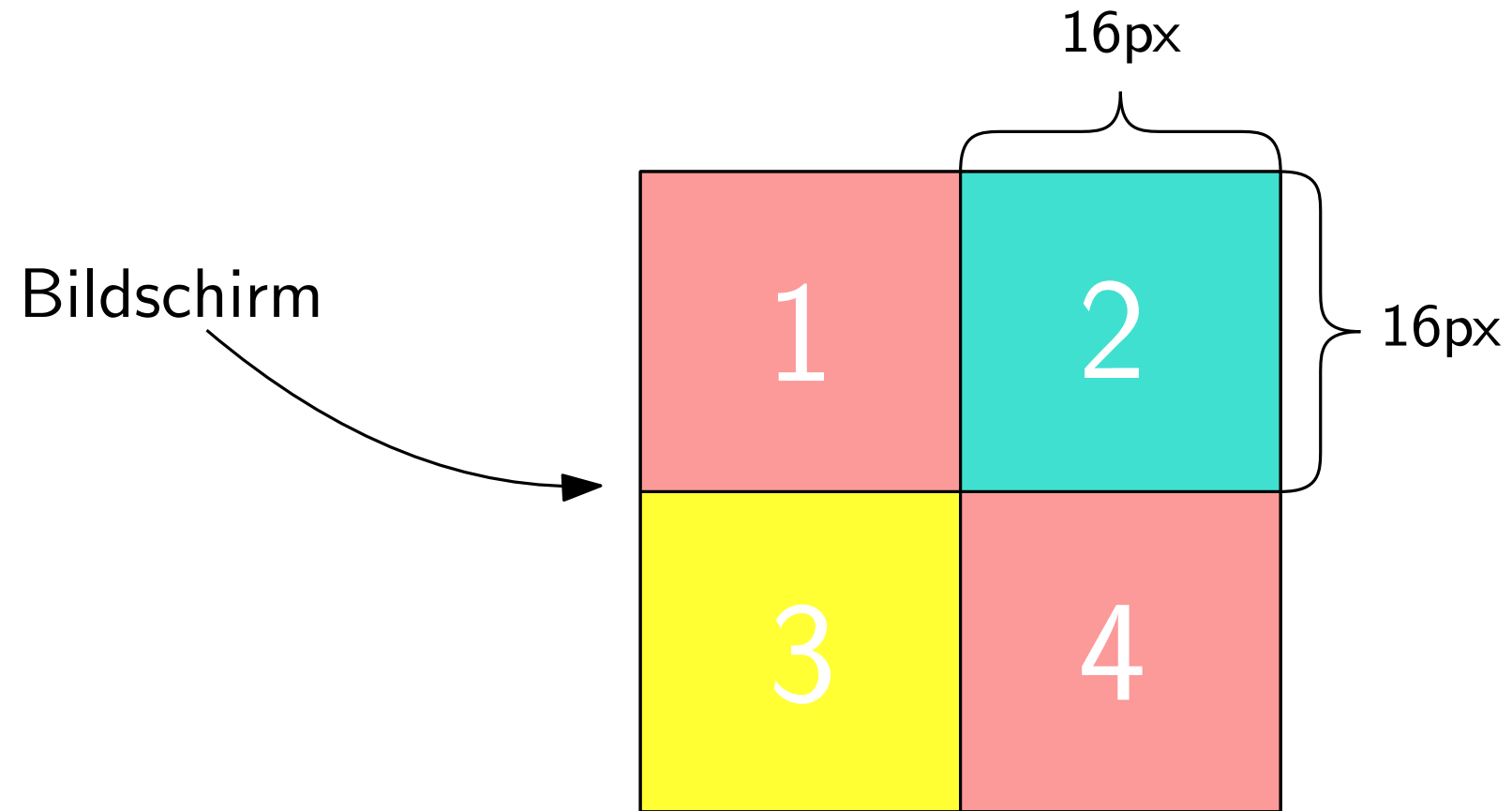


Rendering

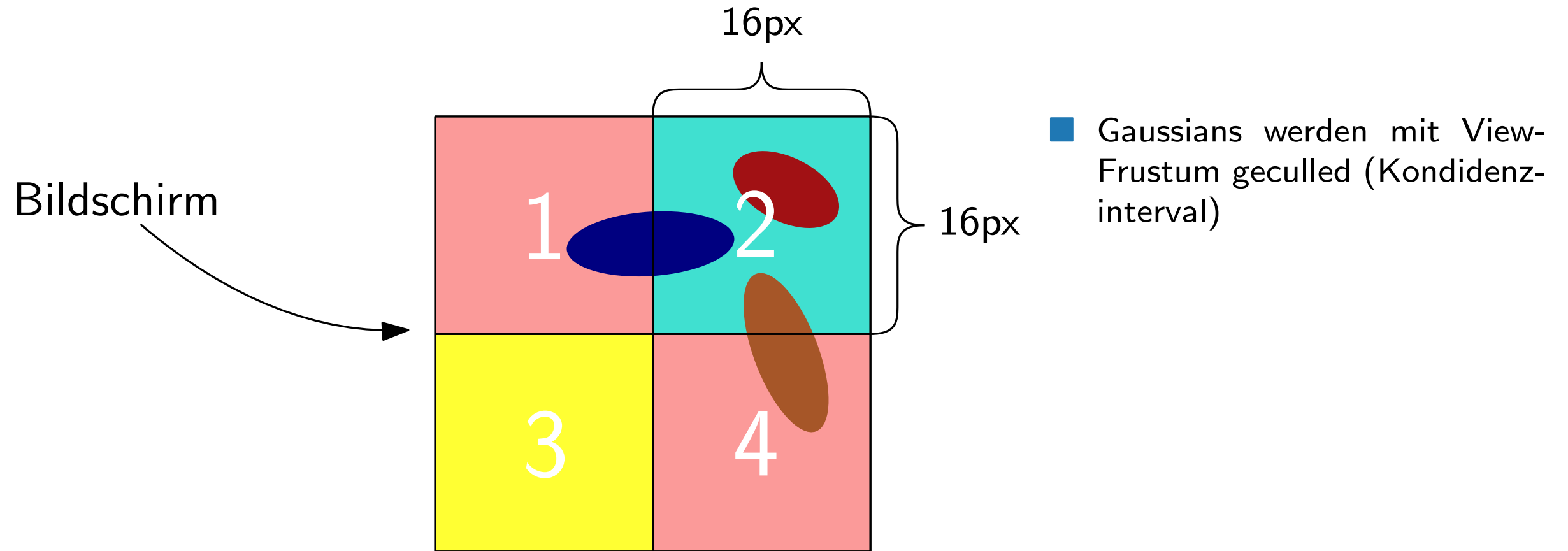
Bildschirm



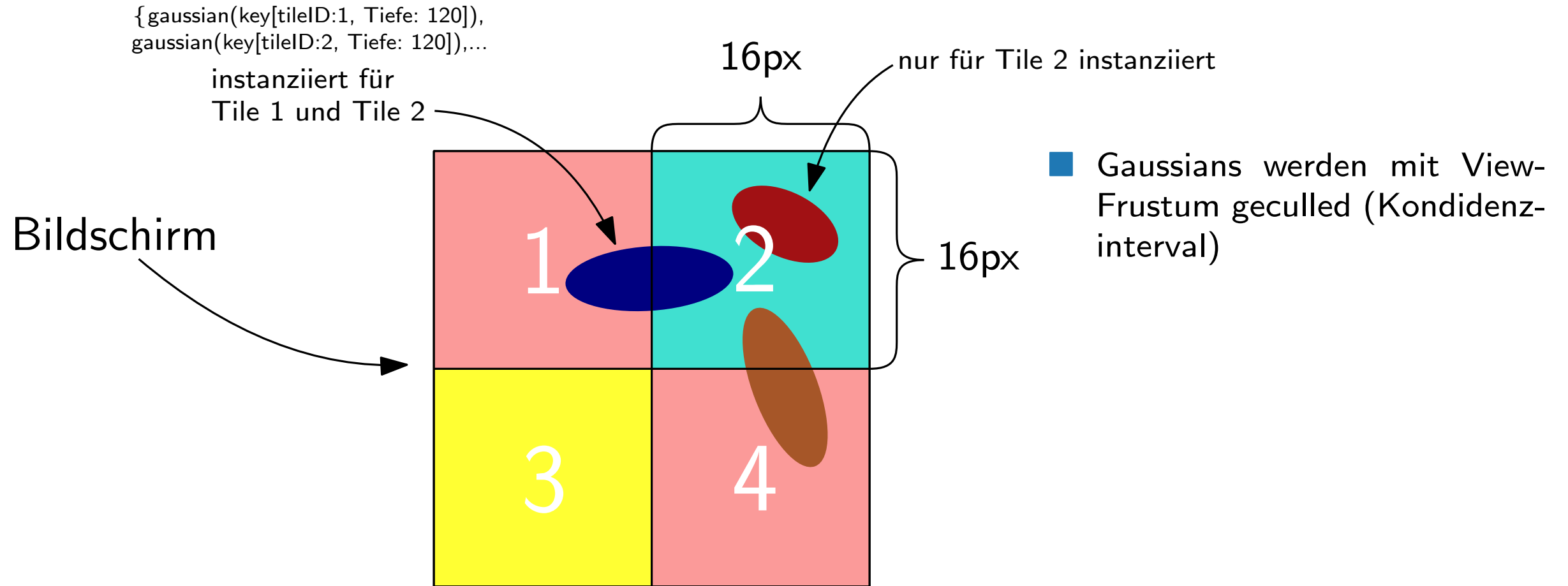
Rendering



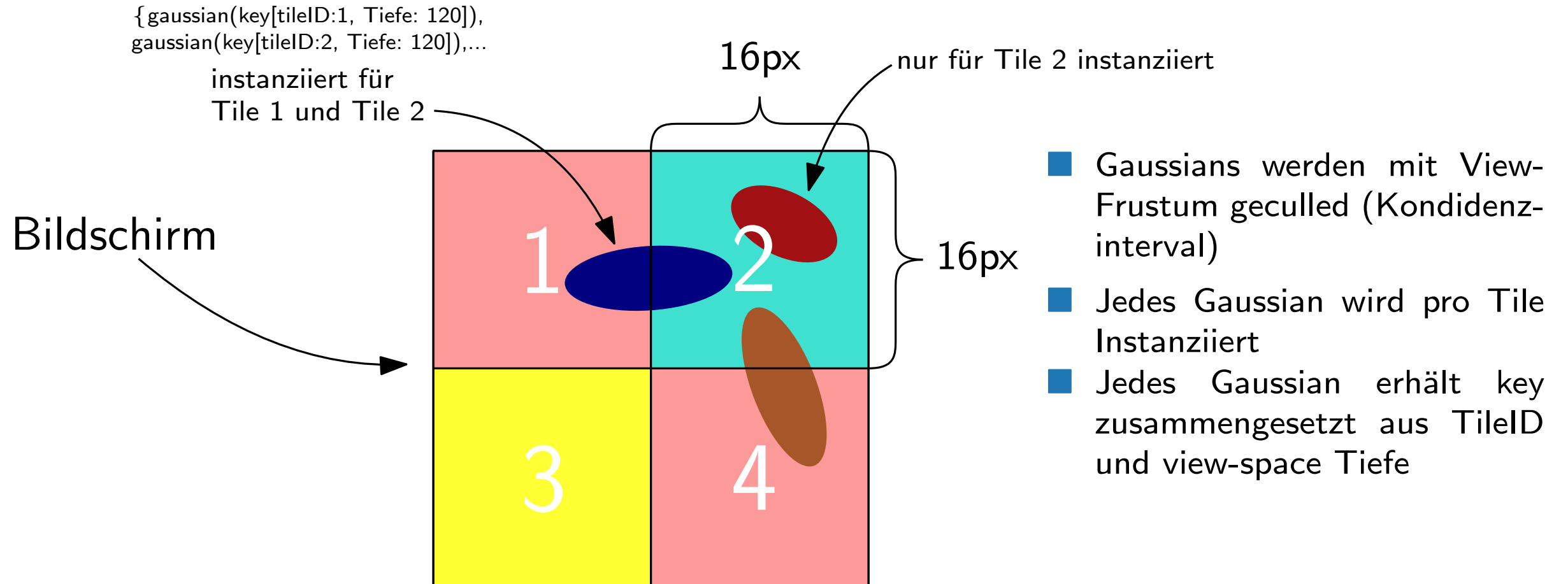
Rendering



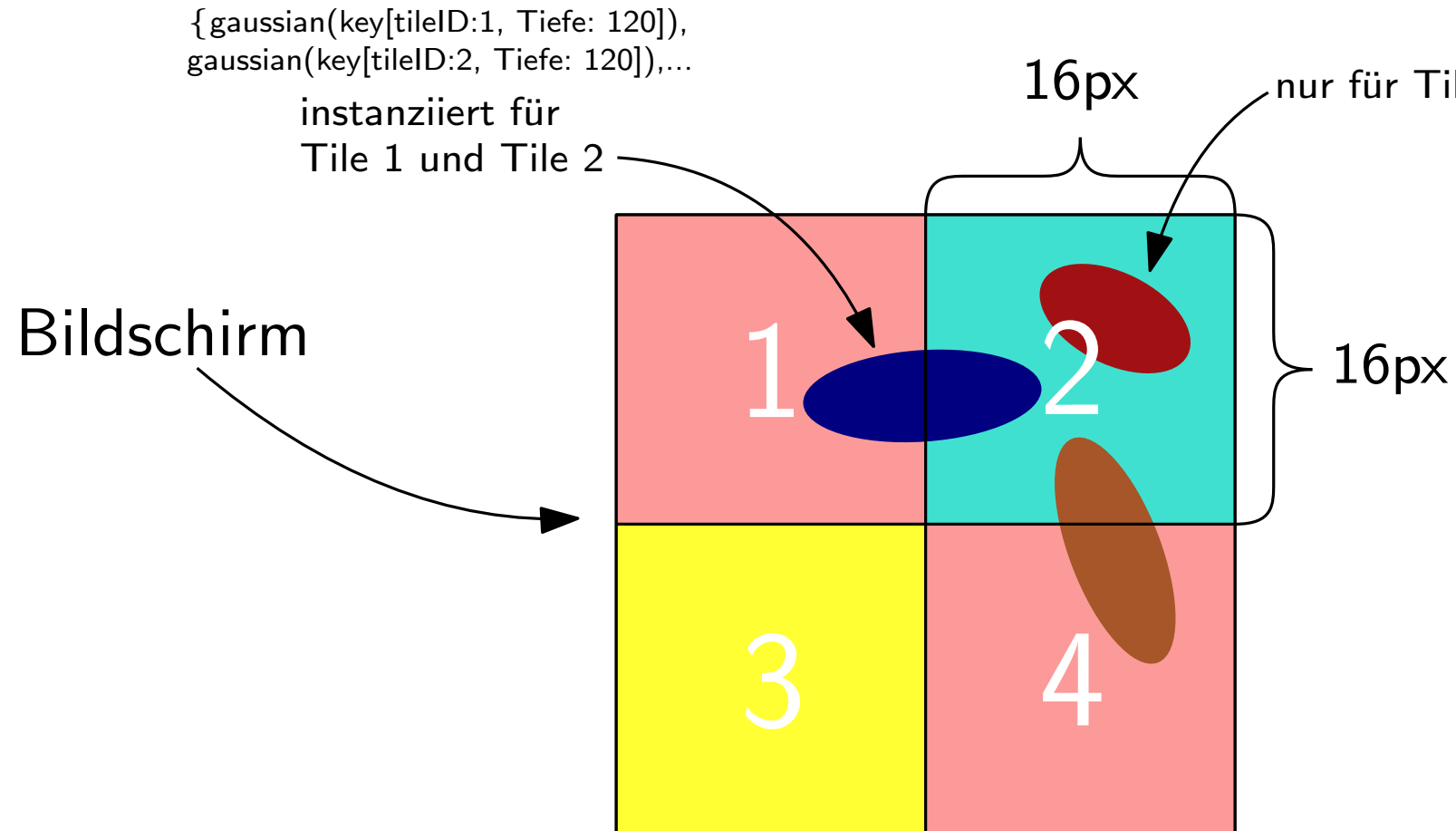
Rendering



Rendering



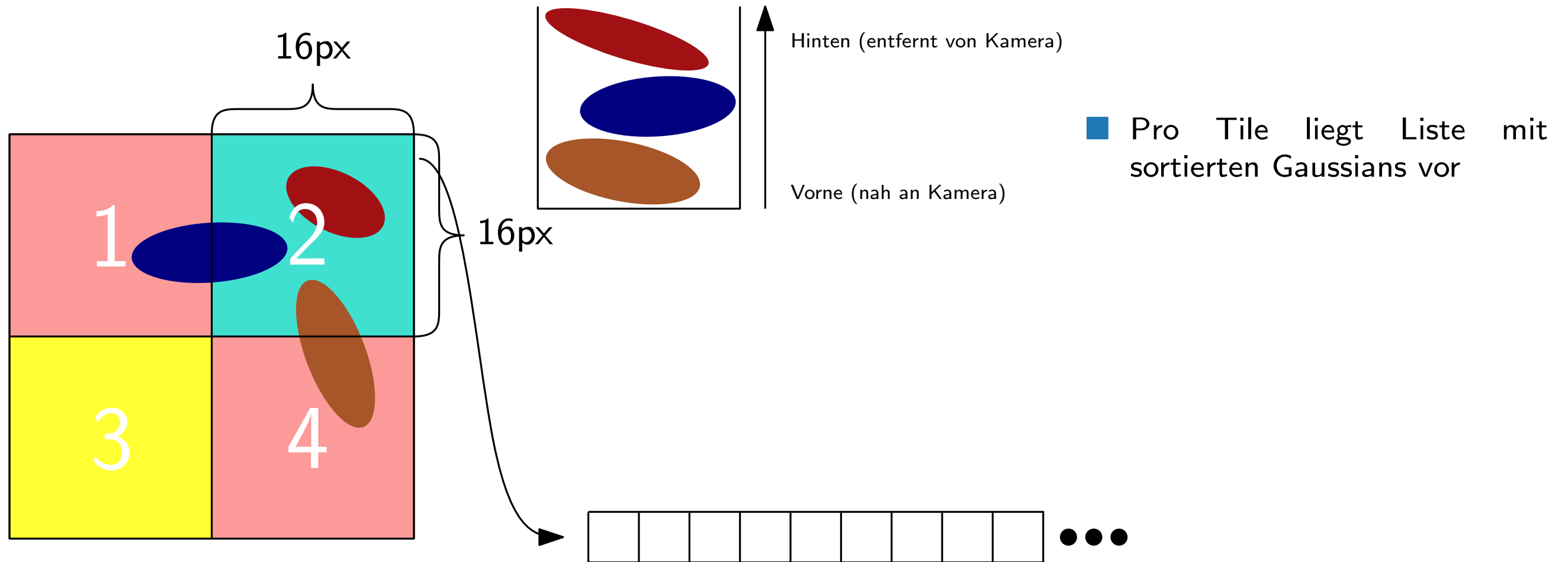
Rendering



- Gaussians werden mit View-Frustum geculled (Kondidenz-interval)
- Jedes Gaussian wird pro Tile Instanziiert
- Jedes Gaussian erhält key zusammengesetzt aus TileID und view-space Tiefe
- Gaussians werden nach Keys sortiert
- Pro Tile wird sortierte Liste mit allen Gaussians erstellt (von nah nach fern)

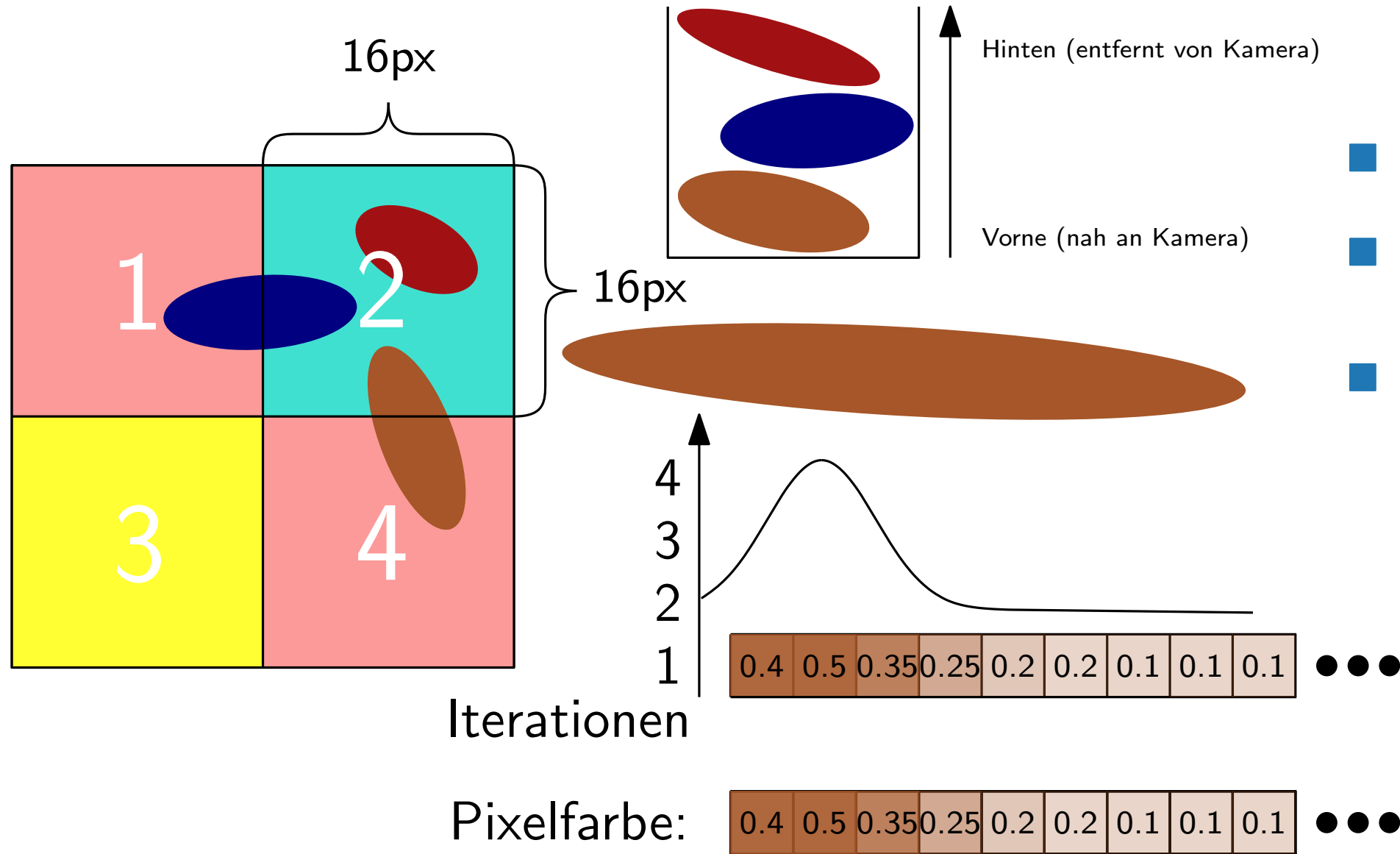
Rendering - Forward

Rendering der einzelnen Tiles:



Rendering - Forward

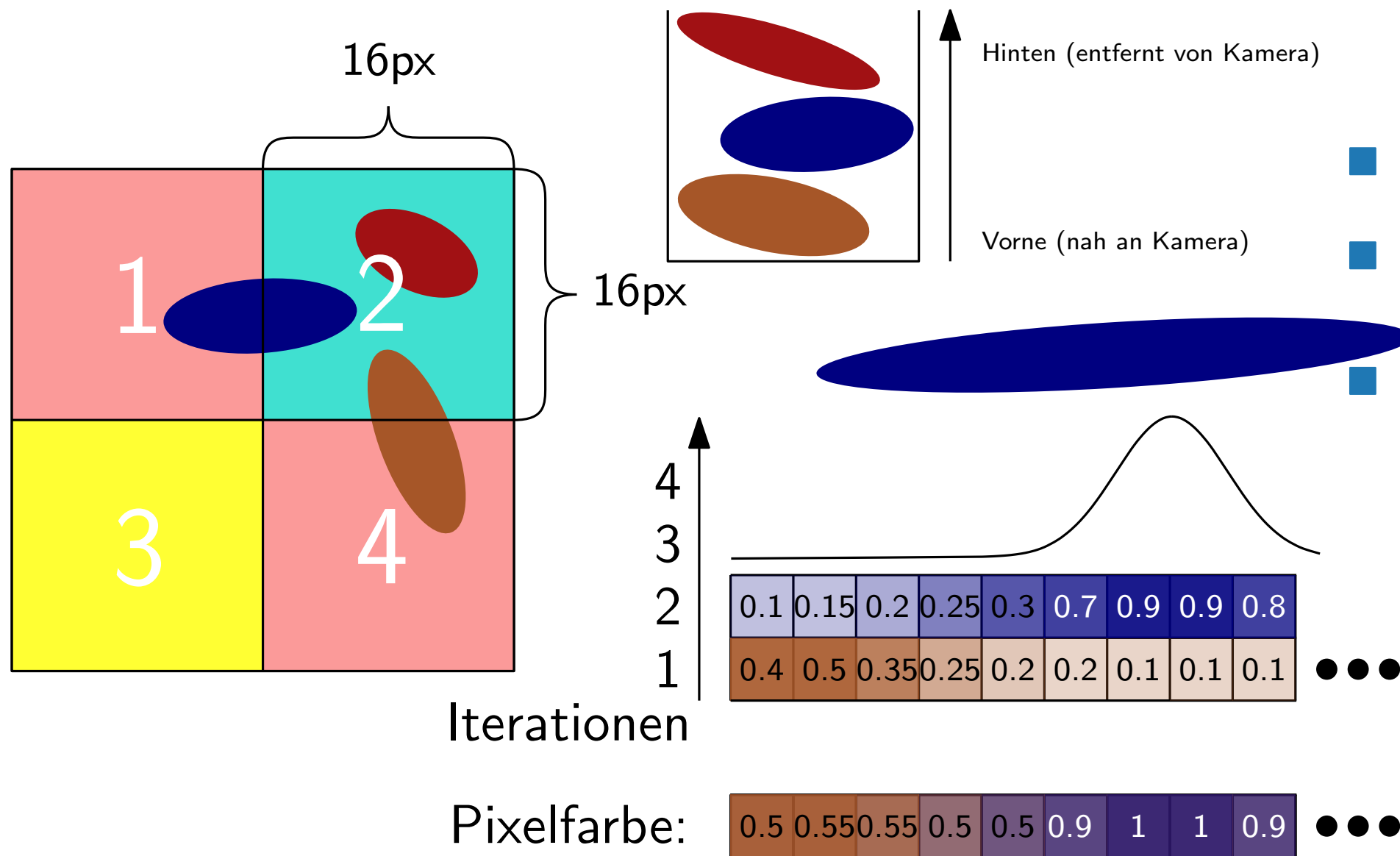
Rendering der einzelnen Tiles:



- Pro Tile liegt Liste mit sortierten Gaussians vor
- Gaussian wird 2D auf Bildschirm projiziert
- Farbwert wird entsprechend Verteilungsfkt., Alpha und Farbe von Gaussian auf Pixel akkumuliert

Rendering - Forward

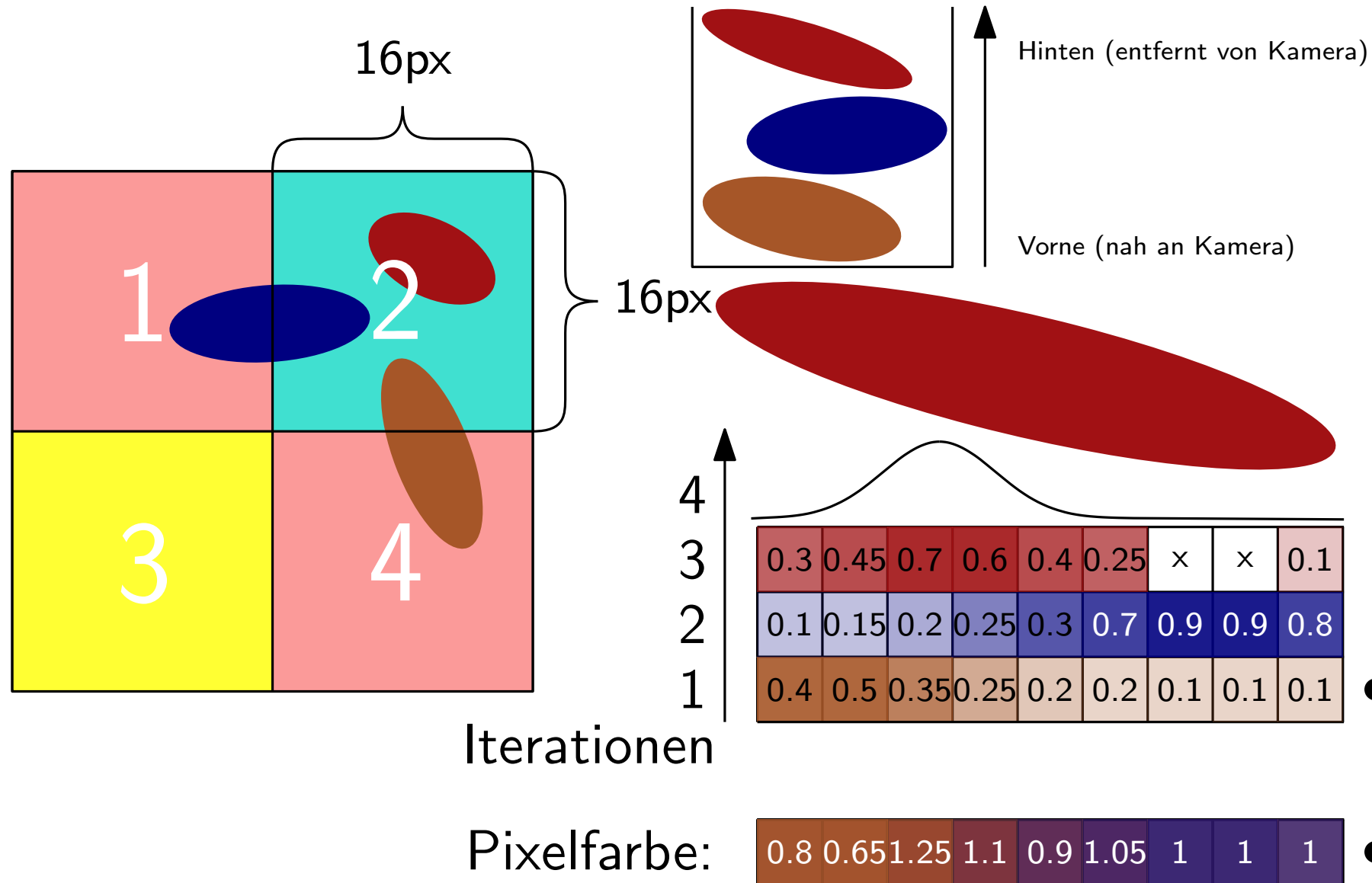
Rendering der einzelnen Tiles:



- Pro Tile liegt Liste mit sortierten Gaussians vor
- Gaussian wird 2D auf Bildschirm projiziert
- Farbwert wird entsprechend Verteilungsfkt., Alpha und Farbe von Gaussian auf Pixel akkumuliert

Rendering - Forward

Rendering der einzelnen Tiles:



- Pro Tile liegt Liste mit sortierten Gaussians vor
- Gaussian wird 2D auf Bildschirm projiziert
- Farbwert wird entsprechend Verteilungsfkt., Alpha und Farbe von Gaussian auf Pixel akkumuliert
- Pixel mit Opacity 1 werden als "Done" markiert
- ● ● ⇒ terminiert wenn Liste leer ist oder alle Pixel "Done"

Rendering - Pseudocode

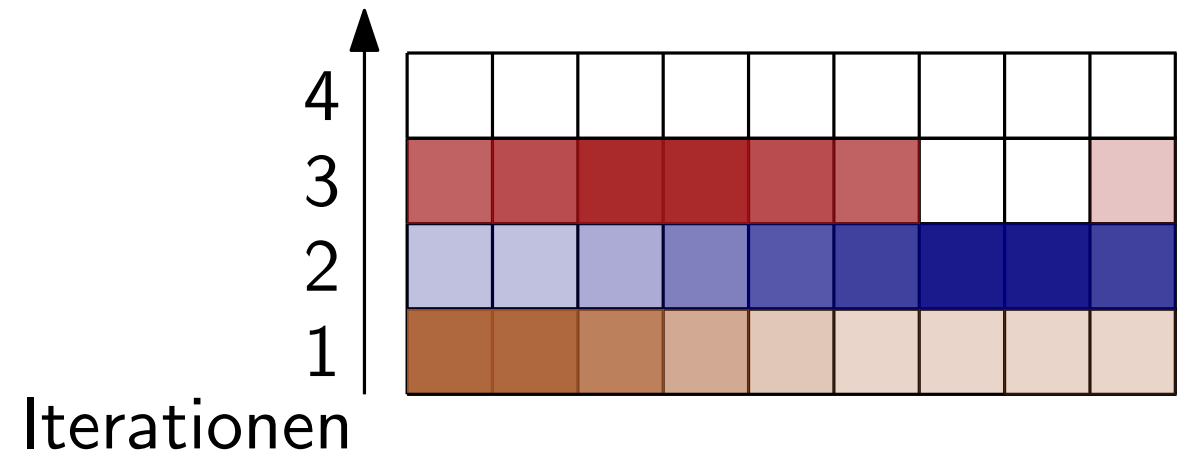
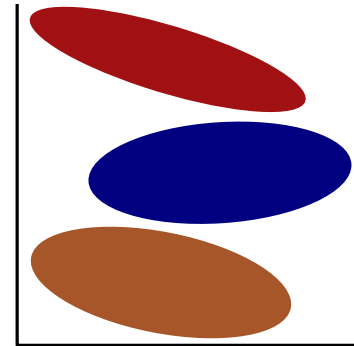
```
function RASTERIZE( $w, h, M, S, C, A, V$ )  
  CullGaussian( $p, V$ )                                ▶ Frustum Culling  
   $M', S' \leftarrow$  ScreenspaceGaussians( $M, S, V$ )    ▶ Transform  
   $T \leftarrow$  CreateTiles( $w, h$ )  
   $L, K \leftarrow$  DuplicateWithKeys( $M', T$ )           ▶ Indices and Keys  
  SortByKeys( $K, L$ )                                   ▶ Globally Sort  
   $R \leftarrow$  IdentifyTileRanges( $T, K$ )  
   $I \leftarrow 0$                                        ▶ Init Canvas  
  for all Tiles  $t$  in  $I$  do  
    for all Pixels  $i$  in  $t$  do  
       $r \leftarrow$  GetTileRange( $R, t$ )  
       $I[i] \leftarrow$  BlendInOrder( $i, L, r, K, M', S', C, A$ )  
    end for  
  end for  
  return  $I$   
end function
```

Rendering - Pseudocode

```
function RASTERIZE( $w, h, M, S, C, A, V$ )
  CullGaussian( $p, V$ )                                ▶ Frustum Culling
   $M', S' \leftarrow$  ScreenspaceGaussians( $M, S, V$ )    ▶ Transform
   $T \leftarrow$  CreateTiles( $w, h$ )
   $L, K \leftarrow$  DuplicateWithKeys( $M', T$ )           ▶ Indices and Keys
  SortByKeys( $K, L$ )                                   ▶ Globally Sort
   $R \leftarrow$  IdentifyTileRanges( $T, K$ )
   $I \leftarrow 0$                                      ▶ Init Canvas
  for all Tiles  $t$  in  $I$  do
    for all Pixels  $i$  in  $t$  do
       $r \leftarrow$  GetTileRange( $R, t$ )
       $I[i] \leftarrow$  BlendInOrder( $i, L, r, K, M', S', C, A$ )
    end for
  end for
  return  $I$ 
end function
```

Rendering - Backward

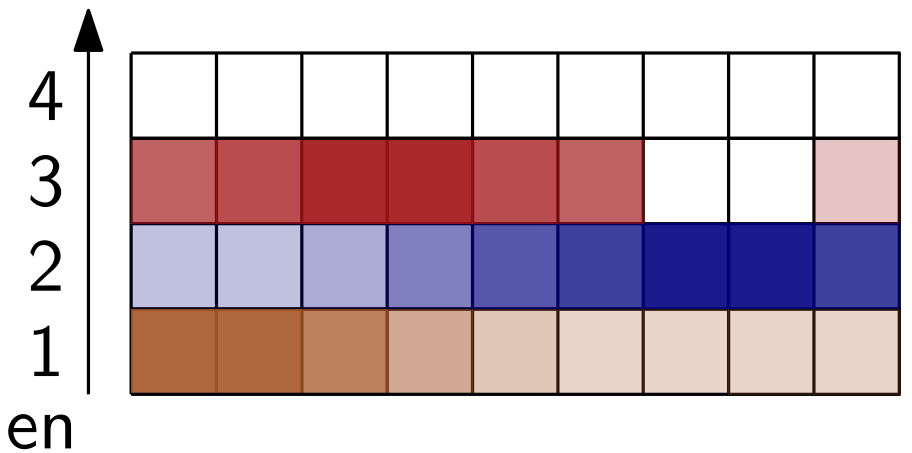
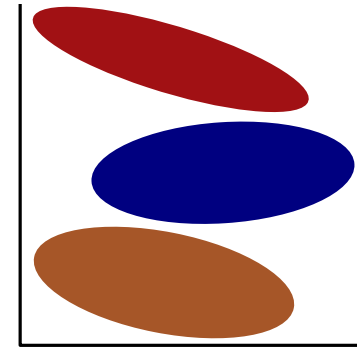
Welche Auswirkung hat ein Gaussian auf die Farbe eines Pixels?



Rendering - Backward

Welche Auswirkung hat ein Gaussian auf die Farbe eines Pixels?

- Sortierte Liste wird rückwärts durchlaufen
- Gradient Descent wird verwendet, um Optimum zu finden
- Rekonstruktion der Szene entsprechend angepasst



Finale Pixelfarbe:

Zum selbst ausprobieren:

<https://gsplat.tech/>

Zum selbst ausprobieren:

<https://gsplat.tech/>

- Viewer ohne eigenes Training
- Implementierung in WebGL
- Sortierung der Gaussians in WebAssembly

spannend und lustig...

3D Gaussian Splatting

IPE Abstürze: 5

3D Gaussian Splatting

IPE Abstürze: 5